

陸用車輛行駛原理

M·G·培克 著
孙凱南 譯

中国工业出版社

陸用車輛行駛原理

M·G·培 克 著

孙 凱 南 譯

中国工业出版社

本书是美国车辆越野性专家培克氏所著。本书内容从土壤力学的观点出发，研究各种车辆行路机构的效能，探讨其最优的结构及尺寸。提出了一系列的新概念和新的方法。例如砂土、泥沼与冰雪地带对越野车辆的行路机构的不同要求，车辆履带的合理结构及合理尺寸，车辆越野性的试验方法等等，都是过去没有系统地提出过的。

本书适于越野汽车及一般汽车的设计人员、研究人员和专业学校师生的参考。

陆用车辆行驶原理

M·G·培克 著

孙 剑 南 譯

*

机械工业图书编辑部编辑 (北京皇城门街万庄)

中国工业出版社出版 (北京东直门内大街丁10号)

(北京市书刊出版业营业登记证字第110号)

机械工业出版社印刷厂印刷

新华书店北京发行所发行 各地新华书店经售

*

开本 850×1168 1/32 · 印张 14 3/16 · 字数 364,000

1962年12月北京第一版 1962年12月北京第一次印刷

印数 001—807 · 定价(10·6)2.20元

*

统一书号：15165·1783(一机-366)

譯序

本书的作者 M. G. 培克氏是第二次世界大战中加拿大国防部
軍械試驗室負責人，战后为美国斯蒂文斯工业大学牵引坦克
組的主任，从事于各种越野車輛的試驗多年。本书就是他这
工作的总结。在书中，作者論述了汽車的型式，各種行駛部
件、履帶、車輪、雪橇与不同的介质如土壤、沙、雪等的相互关
提出来了很多有启发性的問題和概念。这些問題不但对于汽車
大的意义，对拖拉机也是非常重要的，对我国这两方面的研
工作很有参考价值。

除了上述特点以外，作者在书中叙述了越野汽車的发展史，
召了在发展越野汽車的工作中的經驗，最近并列举了 346 項參
資料，对进一步的研究很有用处。

本书也有一些缺点，在摘录、引用的資料方面虽然也包括了
苏联的資料，但是从比重上看来，还远远不能包括苏联学派
李沃夫(Львов)，迈得維擴夫(Медведев)，克利斯蒂(Кристи)
人的研究成果。其次作者仅从理論上进行分析，沒有結合現有
車型进行分析，具体数据也非常少。这些是资本主义国家技术
的共同特点。作进一步研究时，可以参考 A. C. Антонов 氏所
的履帶行駛原理等书。

总的說来，本书牽涉的面很广，引用的資料相當丰富，某些
處也很新颖，有启发性，不失为一本好书。

譯者

目 录

序	3
一、 导言	7
二、 自然界中的运动对象	8
水在槽中的流动	8
动物的运动	11
跑与跳	11
爬行	13
滑行	19
步行	22
运动的阻力与移动的方式	24
人为的与动物式的运动	26
三、 车轮的运动	30
古代的车轮	30
早期的道路与车轮	30
越野车辆的发明	31
近代技术发展的开端	37
第一次大战时期	41
第一次大战以后的时期	44
第二次大战时期	49
公路及越野机动车的发展	51
军用及工业用车辆的要求	53
将来的发展趋势	58
四、 驱动车的形态学及其与环境的关系	62
形状的指数	62
比重量	65
尺寸与形状	66
独带式车轴的形状	69

轮式车辆的形状	71
车辆形状与环境的关系	72
车辆形状与环境的关系的评价	78
形状的稳定性与运动的概念	82
形态学的研究	84
临界尺寸	89
列車的概念	92
五、 土壤和雪的若干力学問題	94
稳定性与弹性問題	94
时间因素	95
二向度的应力函数	95
直角坐标	96
极坐标的应用	96
平面問題	100
垂直线性负荷及应力分布	102
任意方向的线性负荷作用下的应力	103
带状负荷作用下的应力	103
主应力和带状负荷	105
主应方的轨迹	108
剪力的分布	110
带状负荷作用下的压强分布	111
集中于一点的负荷	112
作用于圆形、椭圆形及长方形面积上负荷的	112

压强	113	較	179
应力集中系数	116	負荷分布与車輪尺寸对	
雪中的压强分布	117	軟地上車輛滚动阻力	
剛性体下的压强分布	118	的影响	181
土壤中的实际压强分 布	118	彈性車輪在剛性地面 上；接触面积問題	182
塑性状态	120	彈性輪胎在剛性地面上 的压强分布	184
平面中的塑性問題	121	彈性輪胎在剛性地面上 的滚动阻力	187
塑性流动中的应力与剪 力状况	122	彈性輪胎在軟性地面上 的一般情况	188
土壤的剪力强度	127	合理的車輪形状	191
半无限連續的土壤中的 塑性平衡	130	車輪的承载能力与浮 力	195
作用于牆壁上的土壤压 力	137	牽引力；剛性車輪的輪 齒及輪胎的花紋	197
土壤在带状負荷下的承 載能力	140	輪胎胎面花紋滑轉問 題	204
雪地問題	143	七、履帶式車輛的履環	207
雪的剪切强度	144	履帶下的接触面下陷現 象和压强分布	207
雪与土壤問題中的弛豫 現象	146	履帶下陷現象与負重輪 數的关系	212
雪的机械性能的变化	150	負重輪下的負荷分布与 下陷現象	214
雪的摩擦性能	152	履帶板的变形与横向負 荷分布	217
土地的彈性变形	157	履帶的承载能力	222
負荷的形状与面积对土 地彈性变形的影响	160	主牽引力計算	226
土壤与雪的非彈性变 形	161	履刺对总牽引力的影 响	229
六、車輪的力学	167	履帶滑移与牽引力的关 系	233
剛性車輪在剛性路面 上	167	滑移引起的履帶下陷	242
单个剛性車輪在軟地面 上	168	土壤压实和推土作用的	
纵列的剛性車輪在軟地 面上	174		
纵列与并列双輪的比			

阻力	245	土壤的行驶性的定义	359
履带式车辆的合理形 状	248	土壤行驶性指标的测 定	362
履带与车轮的比较	250	土壤与雪的分类	366
八、雪车	257	车辆性能的测定	369
雪橇下压强的分布及雪 橇的轴线位置	257	车辆性能的评价	371
雪橇的承载能力	260	车辆速度与发动机功 率	373
雪的压实所引起的滑行 阻力	261	发动机扭矩与车辆性 能	375
粘性阻力	264	燃料消耗率与传动系	381
滑行的动阻力	267	越野车辆的实际与名义 燃料消耗率	387
滑行总阻力	269	越野运输的效率	389
雪的状态	270	行驶性区域图	393
雪橇的形状	272	机动车辆性能及经济性 的根本改善	395
九、机动车辆的力学	277	十一、模型试验与因次 理论	399
轮胎式车辆的负荷分布	277	样车试验，模拟试验与 模型试验的用途及限 制性	399
履带式车辆的负荷分 布	280	因次分析原理	402
车辆行驶时的动负荷	287	模型试验的理论	407
车辆性能的指标	293	车辆模型试验的条件	409
轮胎式车辆的转向与稳定 性	298	试验结果与实际情况的 对照及校核	418
履带式车辆的稳定性	300	因次分析理论	424
履带式车辆的转向	305	车辆模型试验举例	427
车辆的速度与振动	325	试验数据的统计处理方 法	427
车辆的越障性能	334	线性关系	434
螺旋桨推进的雪车的几 个问题	343	试验的设计	436
水陆两用车辆的一般问 题	346	参考文献	438
车形和车型与土壤性能 和地形的关系	353		
十、车辆的性能与土壤的 行驶性	359		

一、导言

五十年来，机动车辆已經有极大的发展，而且它的发展前途也是很远大的。这些车辆的发展，不但表現在尺寸和重量的不断加大，而且也表現在技术的复杂性上；例如过去认为机动车辆只能在公路上以30公里/小时左右的速度行驶，因为这是人能够忍受的最高速度，但是現在的越野汽車的車速也远不止此，人怎样适应这样一种情况就需要作很多研究工作了。

为了适应这种不断发展的变化，早期汽車的简单傳动系統和行路机构已經发展成为一套复杂的机构，它們的作用有賴于很多复杂而精密的元件系統，其它一些部件系統也莫不如此。事实上，近代汽車已經尽量采用了技术上的新成就，因此它能够适应非常复杂的使用情况，例如高速、越野、雪地、沙漠、水陆两栖以及高溫、低溫等等。

对于汽車与国民經濟以及人民的生活习惯各方面的关系，已經进行过很多研究，資本主义国家也很注意这个問題¹。但是对于汽車以及它的零部件对与汽車相接触的道路、土壤、或雪、沙等行驶介质之間的关系，以及如何从这种关系中寻求最合理的汽車設計或使用的这一部分工作，却很少大規模，系統地进行过。大家对于这方面知識缺乏的認識是比較迟了一些，因此只对于寻求一个研究汽車設計的发展趋势的工具 进行了一些初步的探索^{2,3,4}。

汽車工程师与使用者都希望有一个系統的理論分析方法，特别是关于越野汽車方面的理論，以便比較确切地确定經濟而合理的运输系統的长远发展方案⁵，这一点到目前为止是很难着手的。

本书企图建立这一方面的比較广泛的理論，对于汽車及其它机动车辆行驶的介质的性质，以及它們与車輪，履帶，雪橇等行路机构的关系进行討論。

二、自然界中的运动現象

陆上运输并不是人类首先发明的，在自然界中早就有大量的水与泥沙流过地面的现象。其它动物与人类本身也都担负过不同的运输任务，它们采取的方式是多种多样的，车轮与车辆的发明是这些运动及运输的延续。

水在槽中的流动

大家都知道某些技术过程是可以和自然现象互相比较的，而在近代的机器中进行的技术过程一般都是自然现象的延续⁶，我们就不妨对河流的流动作比较详尽的研究，因为它和近代陆地运输问题的一般基础有相当密切的关系。

在河中流动的水受到的是地球重力的作用，这种力使水有克服河床阻力而流动的能力，如果我们考虑图1所示的一小块水在均匀地流动，则阻力 R 即等于水的重量沿它的流动方向的分力，即

$$R = W \sin \alpha. \quad (1)$$

水的重量可以用图1中的符号表示

$$W = \gamma b d l,$$

式中 γ 为水的比重。由于 $\sin \alpha$ 通常是很小的，所以可以用河床倾斜角度的正切 $S = \frac{h}{l}$ 来代替。对于单位长度的水的流动阻力

$$R = \gamma d S b. \quad (2)$$

由水力学原理⁷可知：图1所示河床中的水的流速可以用以下的半经验公式来表达：

$$v = \frac{1.486}{n} d^{\frac{2}{3}} S^{\frac{1}{2}}, \quad (3)$$

式中的 n 是根据槽壁性质而定的常数。

将(3)式中的 S 值代入(2)式中, 得出

$$R = \frac{n^2 \gamma b v^2}{(1.486)^2 d^{1/3}} \circ \quad (4)$$

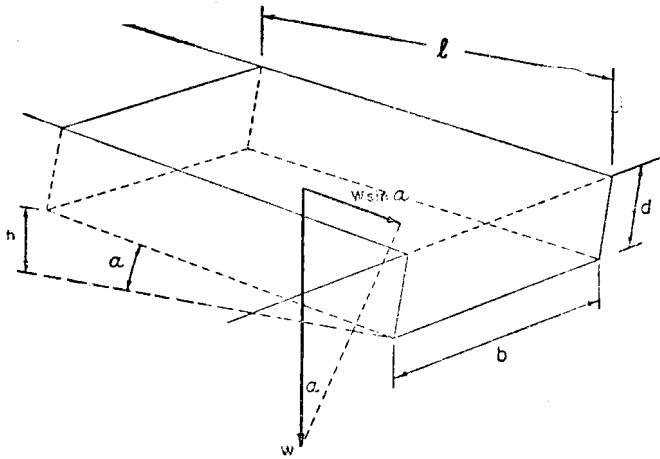


图 1

因此克服水的流动阻力所需的功率 $P = Rv$ 将为

$$P = \frac{n^2 \gamma b v^3}{(1.486)^2 d^{4/3}} \circ \quad (5)$$

由于这一小块水的单位重量是 $W = \gamma d b$ (磅/英³), 因此使单位重量的水在一定速度下流动所需的功率是

$$\frac{P}{W} = \frac{n^2 v^3}{(1.486)^2 d^{4/3}}, \quad (6)$$

如果命

$$K = \frac{n^2}{(1.486)^2 d^{4/3}}, \quad (7)$$

则有

$$\frac{P}{W} = K v^3. \quad (8)$$

根据以上的推演, 可以看到河床对水流的阻力相当大, 因为消耗的功率是与流速的三次方成正比的。由图 2 可以看到消耗的功率与流速的关系, 图中的功率消耗是用马力/吨表示的。

如果假定这一小块水是沿着河床运动的假想的“列車”的一

部分，則我們可以注意到“列車”的斷面尺寸愈小，消耗的功率即隨之而迅速加大，這種關係說明了，即使在這樣原始形態的運輸方式中，車輛的型式與運輸的經濟性的基本關係還是存在的，因此在其它陸地運輸方式中，這種關係必然更為明顯。所以對於車輛形態學的研究的重要性是應當強調的。這方面的工作是尼森（Neesen）氏在大約15年以前開始的²，他對於陸地、海面及空中的運輸工具都進行了一些研究，我們以後還會提到他的工作。

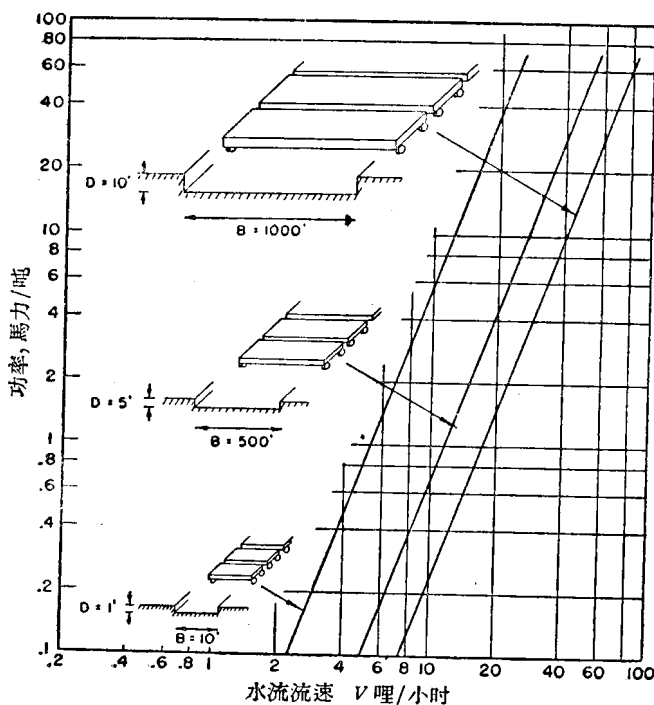


图 2

水在槽中的流动可以与用一种沒有重量，而且其动力由地球的重力作用所代替的車輛來运水的情况作比較。这种車輛的作用是不可倒轉的，因为地球的重力不能反方向作用。如果沒有一种逆方向的力量的話，地球表面上这种水的流动現象一定早已停止

了，这种逆方向的力就是水的蒸发及在静液压作用下水的上升現象。这种水流動的整个循環現象与陸地运输沒有直接的关系，所以我們不去研究。但是应当注意，静液压的起源也还是地球的重力作用，因此整个循環的作用实际上は相同的，太阳是这种作用的能源，它使地球的重力在静液压举升高水的現象中起着間接的作用。

如果沒有高度的差別，地球重力就不能起作用，因为重力的特点是只能在垂直的方向作用。因此这种运输系統的缺点就是它的运动方向必定是在傾斜的方向上的，只有运动方向的垂直分矢量不等于零的时候，运动才有可能。

动物的运动

自然界的运输現象不能逆着地球重力的方向进行，但是当动物出現以后，它們有可以逆着重力或不依靠重力的作用而运动的連杆式机构（腿），就可以克服地面的阻力而作水平方向的运动。所以也可以說动物真正解决了运动的問題，并且間接地解决了陸地运输的問題，它們能克服地球重力使它們的軀体下落的影响而作几乎很少限制的运动。这种运动是在沒有車輪的帮助下进行的。

拉希夫斯基 (Rashevsky) 氏曾經指出，除了原生动物以外，所有的生物的运动都是一系列杆系的运动。蛇和毛虫类的整个軀身就是一根杆，其它动物的肢体是一系列的杆体⁸。动物的运动也有几种不同的方式，所用的机构也是不同的。对于这些不同的方式进行研究不但可以得到一些一般的概念，而且可以对于人所制造的运输机械的历史意义及其选用的杆系的合理性有所认识。

可以首先考慮一些能够灵活地运动的动物的运动方式，主要是能够跳或跑的四足动物。

跑 与 跳

根据拉希夫斯基的看法，跑这个动作是由一系列的跳跃組成

的。在每一次跳跃时，动物全身都不与地面接触，而它的重心轨迹则成为一个抛物线。在一系列連續的跳跃中，每次都是从静止状态开始的，当时动物的动能完全失去了。因此，如一个袋鼠或一个蚱蜢都要用相当冲击的力来克服这种失去的动能的。

动物的跑与跳的差别并不大。但是在跑的时候可以假定只有垂直方向的动能已经失去，而动物是以比较均匀的速度在跑的。所以跑的动作所消耗的能量要比跳跃少得多。

以下我们可以对这两种动作比較詳細地研究一下。但是应当說明，为了使分析简化起見，在研究时作了一些假設，因此得出的結果只是近似的。如果动物的重心是沿一个抛物线运动的，如图 3 所示，假設在跳跃时，不考虑肢体的伸縮对重心的影响的話，而跳跃所消耗的能量使重心由 O 移动至 O' ，則每一次跳跃消耗的能量即等于动能 $\frac{m v_0^2}{2}$ ， m 是动物的质量， v_0 是被肌肉冲击而获得的初始速度。

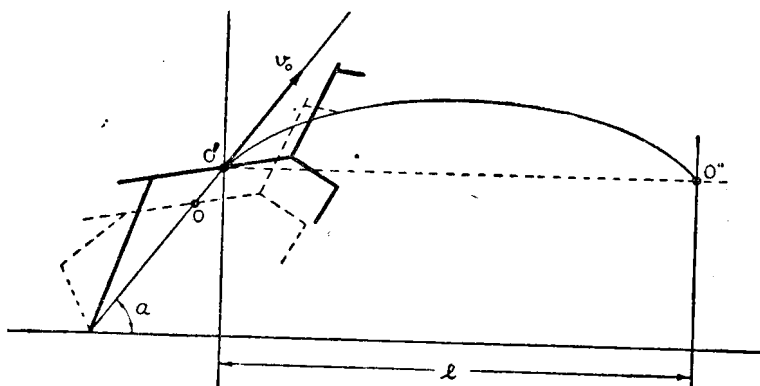


图 3

因此动物的运动可以认为是一个服从外彈道学規律的抛射物；于是，它从 O' 点“飞”到 O'' 点所需的时间等于

$$t = \frac{l}{v_0 \cos \alpha}, \quad (9)$$

跳跃的距离
$$l = \frac{2v_o^2 \sin \alpha \cos \alpha}{g} \circ \quad (10)$$

“飞行”的时间可以综合(9)式与(10)式而求得

$$t = \frac{2v_o \sin \alpha}{g} \circ \quad (11)$$

在跳跃中，动物所获得的动能的消耗率是

$$P = \frac{mv_o^2}{2t} \circ \quad (12)$$

将(11)式中的 t 值代入(12)式中，能量平均消耗率是

$$P = \frac{mgv_o}{4 \sin \alpha} \circ \quad (13)$$

换句话说消耗于克服跳跃“阻力”的单位重量能量是

$$\left[\frac{P}{mg} \right]_{跳} = \frac{v_o}{4 \sin \alpha} \circ \quad (14)$$

在跑的过程中，只有垂直方向的动能损失；所以

$$P = \frac{mv_o^2 \sin^2 \alpha}{2t}$$

或 $\left[\frac{P}{mg} \right]_{跑} = \frac{v_o \sin \alpha}{4} \circ \quad (15)$

从以上的计算中可以看到，跳跃时消耗能量随着跳的角度 α 加大而逐渐减少，直到 45° 为止，但是跑的时候， α 角愈小，消耗的能量就愈少，这是两种运动不同所在。

在跑的时候，初始速度 v_o 与水平面所成的角度 α 愈小愈好，这是拉希夫斯基氏得出的结论¹⁰。角度 α 愈小，重心 O 的举升量（图3）也愈小，(15)式中由于略去了举升重心所消耗的能量而引起的误差也愈小。动物在跑的时候照的相片说明 α 角在 10° 到 20° 之间。以 $\alpha = 10^\circ$ ， $v = 40$ 呎/秒的值代入(15)式（这个值相当于赛马跑的速度），计算得出的功率如下：

$$\left[\frac{P}{mg} \right]_{跑} = \frac{40 \sin 10^\circ}{4} = 1.7 \text{ 呎-磅/秒每磅。}$$

如果用每吨重量消耗的马力来表示则

$$\left[\frac{P}{mg} \right]_{跑} = \frac{1.7 \times 2000}{550} = 6 \text{ 马力/吨。}$$

在计算马在跑的时候所消耗的功率中包括了一些不可靠的因素

素。通过各方面进行研究之后，认为在竞赛中奔驰的马消耗的功率大约是4~5马力/吨。在这种情况下，(15)式得出的数值是相当准确的。

根据(14)式，一个跳跃的动物在相同的情况下($v_0 = 40$ 呎/秒)消耗的功率将为

$$\left[\frac{P}{mg} \right]_{\text{跳}}^{10^\circ} = \frac{40 \times 2000}{4 \sin 10^\circ \times 550} = 200 \text{ 马力/吨},$$

这个数值是相当惊人的。但是如果跳跃的角度增加到 45° ，则功率消耗就减少到

$$\left[\frac{P}{mg} \right]_{\text{跳}}^{45^\circ} = \frac{40 \times 2000}{4 \sin 45^\circ \times 550} = 51 \text{ 马力/吨}$$

以上的功率如果不包括空气阻力在内都用于克服外界阻力的。

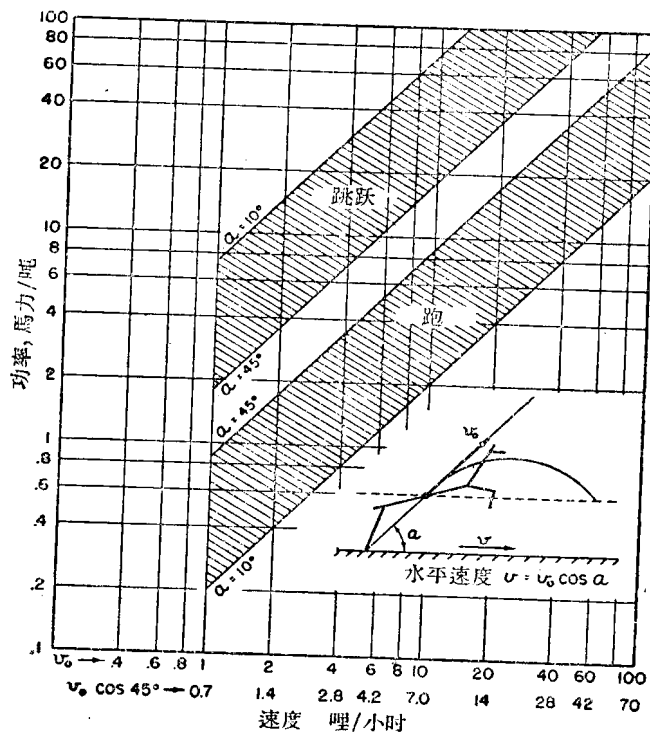


图 4

一个跳跃的兔子 ($v_0 = 20$ 呎/秒) 消耗的功率大約是 26馬力/吨。如果假定它的重量是 10 磅，則它的功率大約是 $\frac{26 \times 10}{2000} = 0.13$ 馬力。

图 4 是动物在不同速度下跑或跳跃时消耗的能量的一般情况，图中表示的是动物以发展完备的肢体在 $\alpha = 10^\circ$ 至 45° 的角度跑或跳跃的时候計算而得到的功率与速度关系，并且可以认为是动物运动时遇到的阻力的一般数据。在計算时并沒有考慮到动物肢体的慣性矩和肢体甩动时消耗功率的影响。有关这方面的詳細情况可以參閱文献 8 及 11。

爬 行

除了跑和跳跃以外，爬行也是动物的一种极普通的运动方式。这种方式就是連續不断地折攏和放开肢体的端部，这是一种最原始的运动方式。图5 a 可以代表爬行运动，在折攏时，身体的前端 I 与地面接触，在放开的时候后端 II 与地面接触。某些軟体毛虫的运动就是这样的⁸。

在爬行的时候，动物的身体与地面的摩擦可能是很大的，現在還沒有关于这种运动所需能量的数据。由于这种运动涉及的因素很多，所以可能有很多不同的数据，运动的阻力和許多因素有关，如軀体部分地举升，摩擦系数等等。

为了决定这种运动所需的能量起見，需要利用一些理想化的机构来加以分析，这种机构虽然經過了簡化，但是与自然界中的动物爬行动作还是很接近的。这种机构如图5 b 所示。

动物的主体的质量为 m ，它被 n 个足所支承，这些足的质量假定为 km ， k 是一个比例常数。假定动物的足連續地举起来，并向前移动一个距离 d ，足的重心举起了高 h ，然后再落到地面上来，如图 5 b 的 a, b, c, d, e 图所示。这些連續运动的結果是使动物身体前移了距离 d 。如果用車辆的运动來比較，則对于車辆的某一节向前运动的阻力 F 是与这一节的重量 $\frac{m \cdot gf}{n}$ 成正比的(f 是运动的阻力系数)。

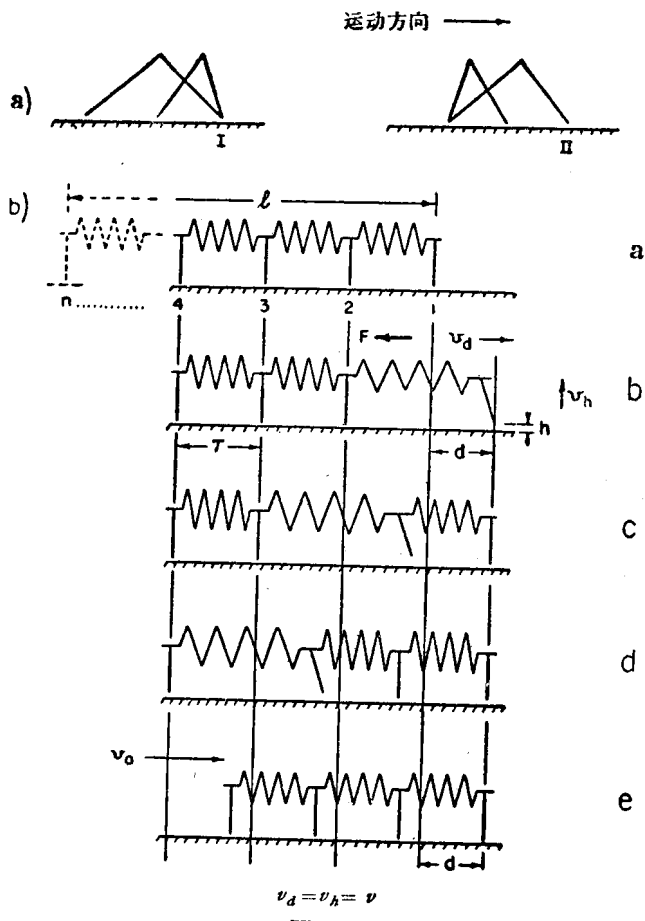


图 5

对某一节向上提升的阻力是 $\frac{kmg}{n}$ 。如果假定爬行的速度很慢，
则惯性力可以略去不计，而且提升这一节的速度 v_h 等于向前运动
的速度 v_d 。以 v 代表这两种速度。这一节向前运动所需的功率即
为 $\frac{m \cdot g \cdot f \cdot v}{n}$ ，提升所需的功率为 $\frac{kmgv}{n}$ 。因此运动消耗的总能量为 $P = (mgfv + kmgv)/n$ ，假定各节的运动是連續而不重叠的。

这个“动物”的速度 v_d 可以用以下方法确定： n 节躯体向前
移动所需的时间是 nd/v ，向上举升所需时间是 $\frac{nh}{v}$ 。由于在某